

двух одноименных точечных зарядов (*в*). Силовые линии проведены пунктиром, а сечения эквипотенциальных поверхностей — сплошными линиями. На рис. 3.5 показан вид силовых линий и эквипотенциальных поверхностей поля заряженного металлического цилиндра, имеющего конический выступ на одном конце и коническую впадину на другом.

### § 3.4. Вычисление напряженности и потенциала некоторых простейших электростатических полей

1. В § 2.2 были приведены примеры вычисления напряженности поля системы электрических зарядов способом суперпозиции полей. Теперь будет рассмотрен другой метод решения этой задачи, основанный на применении теоремы Остроградского—Гаусса. Установленная в § 3.3 связь между напряженностью поля и потенциалом [см. формулу (3.17)] позволяет по известной напряженности поля определить разность потенциалов между любыми двумя точками этого поля.

2. Электростатическое поле плоскости, равномерно заряженной с поверхностью плотностью  $\sigma > 0$  (рис. 3.6). Из условия симметрии следует, что силовые линии параллельны друг другу и перпендикулярны заряженной плоскости *P*. Для определения напряженности поля в какой-либо точке *A* проведем через эту точку и симметричную ей точку *B* две плоскости, параллельные *P*. Построим бесконечно узкий прямой цилиндр, основания *dS* которого проходят через точки *A* и *B*, а образующая параллельна силовым линиям поля (рис. 3.6). Согласно теореме Остроградского—Гаусса [см. уравнение (2.28)], поток смещения сквозь замкнутую поверхность цилиндра равен заряду  $\sigma dS$ , охватываемому этой поверхностью. С другой стороны, поток смещения сквозь эту поверхность равен сумме потоков сквозь основания цилиндра, так как поток сквозь боковую поверхность равен нулю ( $D_n = 0$ ). Векторы электрического смещения  $D_1$  и  $D_2$  в точках *A* и *B* численно равны друг другу и противоположны по направлению:

$$D_1 = -D_2, \quad D_1 = D_2 = D.$$

Векторы  $D_1$  и  $D_2$  совпадают с внешними нормалями к основаниям цилиндра. Поэтому поток смещения сквозь замкнутую поверхность цилиндра равен  $2DdS = \sigma dS$ , откуда электрическое смещение

$$D = \sigma/2 \quad (3.20)$$

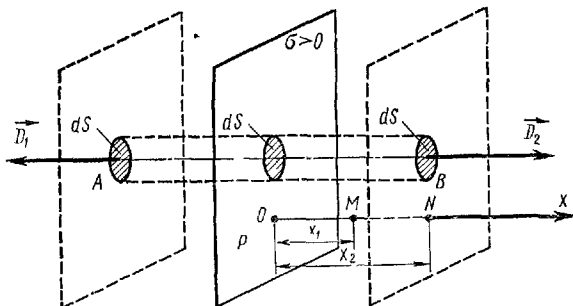


Рис. 3.6

Так как по формуле (2.19)  $D = \epsilon_0 \epsilon E$ , то напряженность поля, создаваемого равномерно заряженной плоскостью,

$$E = \sigma / 2\epsilon_0 \epsilon. \quad (3.20')$$

Эта формула была получена ранее иным, более сложным путем (см. § 2.2).

Найдем разность потенциалов между двумя точками  $M$  и  $N$  этого поля, лежащими на расстояниях  $x_1$  и  $x_2$  от плоскости (рис. 3.6). Заменив в формуле (3.17)  $dl_0$  элементом длины  $dx$ , имеем  $d\phi = -Edx$ . Но  $E = \sigma / 2\epsilon_0 \epsilon$ , поэтому

$$d\phi = -\sigma dx / 2\epsilon_0 \epsilon.$$

Проинтегрировав последнее выражение по  $x$  от  $x = x_1$  до  $x = x_2$  и обозначив потенциалы в точках  $M$  и  $N$  через  $\varphi_1$  и  $\varphi_2$ , получим

$$\varphi_2 - \varphi_1 = \sigma (x_1 - x_2) / 2\epsilon_0 \epsilon. \quad (3.21)$$

**3. Электростатическое поле между двумя параллельными плоскостями, заряженными разноименно с численно равными поверхностными плотностями  $\sigma > 0$  и  $-\sigma$ .**

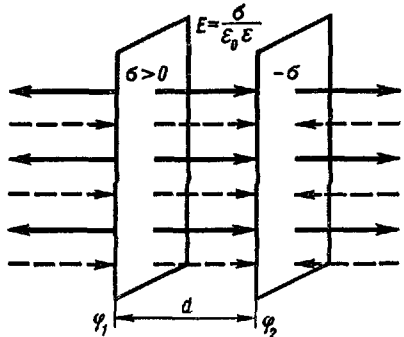


Рис. 3.7

На рис. 3.7 изображены симметричные участки разноименно заряженных плоскостей. Силовые линии поля положительно заряженной плоскости показаны сплошными прямыми, отрицательно заряженной — пунктиром. Из условия симметрии следует, что силовые линии параллельны друг другу и перпендикулярны плоскостям.

Как видно из рис. 3.7, слева от положительно заряженной плоскости электрические поля взаимно уничтожаются, так как их векторы напряженности  $E_1$  и  $E_2$  численно равны и направлены в противоположные стороны. Между плоскостями оба вектора  $E_1$  и  $E_2$  имеют одинаковые направления, и поэтому здесь результирующая напряженность  $E$  численно равна сумме  $E_1$  и  $E_2$ :

$$E = \frac{\sigma}{2\epsilon_0 \epsilon} + \frac{\sigma}{2\epsilon_0 \epsilon} = \frac{\sigma}{\epsilon_0 \epsilon}. \quad (3.22)$$

Вектор электрического смещения  $D$  численно равен

$$D = \epsilon_0 \epsilon E = \sigma. \quad (3.23)$$

Проинтегрировав уравнение  $d\phi = -Edx$  по  $x$  от  $x = 0$  до  $x = d$ , где  $d$  — расстояние между плоскостями, найдем разность потенциалов плоскостей:

$$\varphi_1 - \varphi_2 = \int_0^d \frac{a}{\epsilon_0 \epsilon} dx = \frac{ad}{\epsilon_0 \epsilon} \quad (3.24)$$

Если разноименно заряженные плоские пластины имеют конечную величину (плоский конденсатор), то у краев пластин поле неоднородно (рис. 3.8) и формулы (3.22) — (3.24) справедливы лишь для точек поля, достаточно удаленных от краев пластин.

4. Электростатическое поле бесконечно длинного прямого кругового цилиндра радиуса  $R$ , равномерно заряженного с линейной плотностью  $\tau > 0$ . Из условия симметрии следует, что силовые линии лежат в плоскостях, перпендикулярных образующей цилиндра, и направлены радиально от оси цилиндра (рис. 3.9), причем во всех точках, равноудаленных от оси цилиндра, численные значения как электрического смещения  $D$ , так и напряженности поля  $E$  одинаковы. Чтобы найти  $D$  и  $E$  в какой-либо точке  $A$ , лежащей на расстоянии  $r > R$  от оси цилиндра, проведем через эту точку замкнутую цилиндрическую поверхность  $S$ , имеющую конечную длину  $l$  и коаксиальную с заряженной. Поток смещения сквозь основания этой поверхности, перпендикулярные оси цилиндра, очевидно, равен нулю, так как для оснований  $D_n = 0$ . В точках боковой поверхности  $D_n = D = \text{const}$  и поток смещения равен  $2\pi r l D$ . Таким образом, полный поток смещения сквозь рассматриваемую замкнутую поверхность  $S$

$$\Phi_e = 2\pi r l D. \quad (3.25)$$

По теореме Остроградского—Гаусса,  $\Phi_e = q$ , где  $q = l\tau$  — заряд, охватываемый поверхностью  $S$ . Таким образом,

$$\Phi_e = \tau l. \quad (3.25')$$

Приравнивая правые части выражений (3.25) и (3.25'), получаем

$$D = \tau / 2\pi r. \quad (3.26)$$

Напряженность поля

$$E = \frac{D}{\epsilon_0 \epsilon} = \frac{\tau}{2\pi \epsilon_0 \epsilon r}. \quad (3.26')$$

Для точек, лежащих внутри цилиндра (на расстояниях от его оси  $r < R$ ), можно провести аналогичные расчеты на основе теоремы Ос-

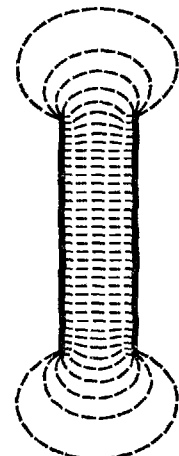


Рис. 3.8

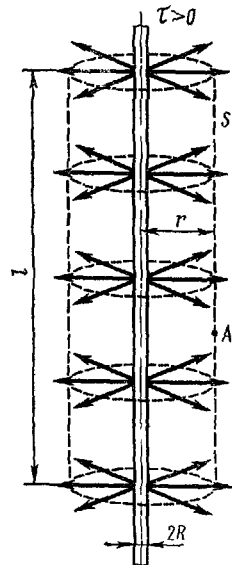


Рис. 3.9

троградского—Гаусса. Для этого нужно также построить замкнутую цилиндрическую поверхность  $S$ , коаксиальную заряженной, но радиуса  $r < R$ . Поток смещения  $\Phi_e$  сквозь эту поверхность также выражается формулой (3.25). Однако теперь рассматриваемая поверхность  $S$  не охватывает зарядов, и по теореме Остроградского—Гаусса  $\Phi_e = 2\pi r l D = 0$ , так что  $D = E = 0$  и  $(d\phi/dl) = 0$  независимо от направления вектора  $dl$ . Таким образом, внутри заряженного цилиндра поля нет, а весь его объем эквипотенциален

Разность потенциалов между двумя точками поля, лежащими на расстояниях  $r_1 > R$  и  $r_2 > R$  от оси заряженного цилиндра,

$$\varphi_1 - \varphi_2 = \int_{r_1}^{r_2} E dr = \frac{\tau}{2\pi\epsilon_0\epsilon} \int_{r_1}^{r_2} \frac{dr}{r} = \frac{\tau}{2\pi\epsilon_0\epsilon} \ln \frac{r_2}{r_1}. \quad (3.27)$$

5. Электростатическое поле сферической поверхности радиуса  $R$ , равномерно заряженной с поверхностной плотностью  $\sigma > 0$ . Из условия симметрии следует, что силовые линии поля заряженной сферы направлены радиально (рис. 3.10). По тем же причинам числовые значения электрического смещения  $D$  должны быть одинаковыми во всех точках, лежащих на одном и том же расстоянии от центра  $O$  заряженной сферы. Проведем через исследуемую точку поля  $A$ , лежащую вне заряженной сферы ( $r > R$ ), шаровую поверхность  $S$  с центром в точке  $O$ . Во всех точках этой поверхности  $D_n = D_r = \text{const}$ . Поэтому поток смещения сквозь замкнутую поверхность  $S$

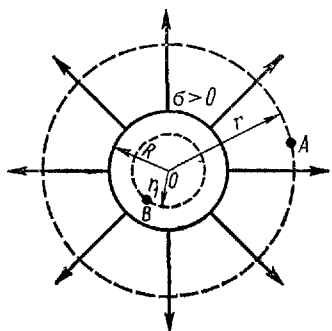


Рис. 3.10

По теореме Остроградского—Гаусса этот поток также равен общему заряду сферы  $q = 4\pi R^2\sigma$ . Следовательно,

$$D_r = q/4\pi r^2, \quad (3.28)$$

$$E_r = \frac{D_r}{\epsilon_0\epsilon} = \frac{q}{4\pi\epsilon_0\epsilon r^2}. \quad (3.29)$$

Эти формулы тождественны формулам (2.21') и (2.2') для поля точечного заряда  $q$ . Таким образом, электростатическое поле вне равномерно заряженной сферической поверхности эквивалентно полю точечного заряда, равного общему заряду сферы и расположенному в ее центре.

Рассмотрим теперь произвольную точку  $B$ , лежащую внутри сферы ( $r_1 < R$ ). Проведенная через нее сфера с центром в точке  $O$

не охватывает электрических зарядов. Поэтому  $\Phi_e = 4\pi r_1^2 D_r = 0$  и  $D = E = 0$ .

На рис. 3.11 представлен график зависимости напряженности электростатического поля равномерно заряженной сферической поверхности от расстояния  $r$  точки поля до центра этой поверхности.

Разность потенциалов между двумя точками, лежащими на расстояниях  $r_1$  и  $r_2$  от центра заряженной сферической поверхности ( $r_1 > R$ )

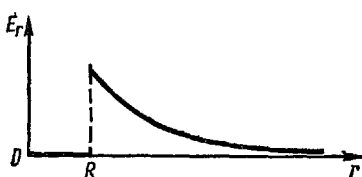


Рис. 3.11

и  $r_2 > R$ ), находим из формулы

$$d\varphi = -E_r dr = -\frac{q}{4\pi\epsilon_0\epsilon r^2} dr;$$

$$\varphi_1 - \varphi_2 = \int_{r_1}^{r_2} E_r dr = \frac{q}{4\pi\epsilon_0\epsilon} \left( \frac{1}{r_1} - \frac{1}{r_2} \right). \quad (3.30)$$

Положив  $r_1 = R$  и  $r_2 = \infty$ , получим потенциал заряженной сферической поверхности

$$\varphi = q/(4\pi\epsilon_0\epsilon R). \quad (3.30')$$

Внутри заряженной сферы поля нет, и потому весь ее объем экви-потенциален.

6. Электростатическое поле шара радиуса  $R$ , равномерно заряженного с объемной плотностью  $\rho > 0$  (рис. 3.12).

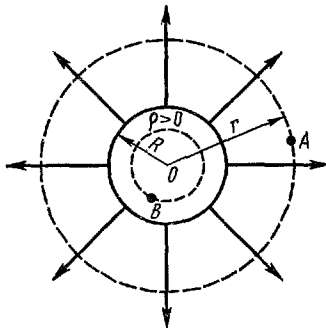


Рис. 3.12

В любой точке  $A$ , лежащей вне шара на расстоянии  $r$  от его центра ( $r > R$ ), его поле аналогично полю точечного заряда  $q = 4\pi R^3 \rho / 3$ , расположенного в центре шара. Поэтому электрическое смещение

напряженность поля и разность потенциалов вычисляются соответственно по формулам (3.28), (3.29) и (3.30).

В точке  $B$ , лежащей внутри шара на расстоянии  $r$  от его центра ( $r < R$ ), электрическое смещение определяется лишь зарядом  $q_1$ , заключенным внутри сферы радиуса  $r$ :  $4\pi r^2 D_r = q_1 = \frac{4}{3}\pi r^3 \rho$ , откуда

$$D_r = \frac{1}{3} \rho r, \quad (3.31)$$

$$E_r = \frac{D_r}{\epsilon_0 \epsilon_1} = \frac{1}{3} \frac{\rho r}{\epsilon_0 \epsilon_1}, \quad (3.32)$$

где  $\epsilon_1$  — относительная диэлектрическая проницаемость материала заряженного шара.

Разность потенциалов между двумя точками поля внутри шара равна

$$\Phi_1 - \Phi_2 = \int_{r_1}^{r_2} E_r dr = \frac{\rho}{3\epsilon_0 \epsilon_1} \int_{r_1}^{r_2} r dr = \frac{\rho}{6\epsilon_0 \epsilon_1} (r_2^2 - r_1^2). \quad (3.33)$$

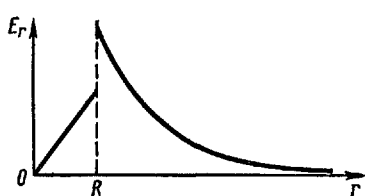


Рис. 3.13

На рис. 3.13 представлен график зависимости  $E_r$  от  $r$  для равномерно заряженного шара. При  $r = R$  выражения (3.29) и (3.32) не совпадают, так как относительная диэлектрическая проницаемость среды, окружающей заряженный шар,  $\epsilon \neq \epsilon_1$  (рис. 3.13 соответствует случаю, когда  $\epsilon \ll \epsilon_1$ ).

### Вопросы для повторения

1. Каково условие потенциальности силового поля? Докажите, что электростатическое поле является потенциальным.
2. Дайте определение потенциала электростатического поля.
3. Как связана работа перемещения заряда в электростатическом поле с напряженностью и потенциалом поля?
4. Какова связь между потенциалом и напряженностью электростатического поля?

### Примеры решения задач

**Задача 3.1.** Внутренний цилиндрический проводник длинного прямолинейного коаксиального кабеля имеет радиус  $R_1 = 2$  мм и заряжен с линейной плотностью  $\tau_1 = 9,42 \cdot 10^{-3}$  СГСЭ<sub>q</sub>/см. Внешний цилиндрический проводник имеет радиус  $R_2 = 4$  мм и заряжен с линейной плотностью  $\tau_2 = -\tau_1$ . Изоляцией между цилиндрами служит резина ( $\epsilon = 3$ ). Найти: значения напряженности электрического поля в точках  $A$  и  $B$ , лежащих на расстояниях  $r_1 = 3 \cdot 10^{-3}$  м и  $r_2 = 6 \cdot 10^{-3}$  м от оси кабеля, а также разность потенциалов между цилиндрами.